

京都大学工学部 学生員 ○木嶋 健  
 京都大学工学部 正員 小林昭一  
 京都大学工学部 正員 田村 武

## 1. はじめに

わが国には弱層が多く存在しているが、弱層及びその周辺が、地震時どのような挙動を示すかについては、いまだに不明確な点が多い。そこで本研究では、地震波動としてP波・SV波を仮定し、これらが弱層を含む半無限地盤に入射した際の定常応答について、境界積分方程式法(Boundary Integral Equation Method)及び有限要素法(Finite Element Method)を用いて数値解析を行なった。BIEM,FEMは、それぞれ、領域が無限にまで及ぶ場合、領域内の物理定数が異なる場合に定式化が容易である、との特徴を有する。ここでもこの両者の特徴を生かして、外部領域にBIEMを、内部領域にFEMを使用している。

## 2. モデルの定式化

ここでは、地盤を等方均質な2次元線形弾性体と仮定する。

モデル形状は右図に示すとおりである。

領域( $D_e + \partial D_x + \partial D_{\text{II}} + \partial D_{\text{III}}$ )においてはBIEMによる定式化を、領域( $D_{\text{II}} + \partial D_x + \partial D_{\text{III}}$ )においてはFEMによる定式化を行なう。そのあと、境界 $\partial D_{\text{II}}$ 上において表面力がつり合い、変位が連続するという条件を満足するように両者の結合を行なう。

## (i) 外部問題

2次元定常弾性問題の基本特異解は次のように与えられる。

$$I_i^{(k)}(z, \bar{z}) = \frac{i}{4\mu} [H_0^0(k_r r) \delta_{ik} - \frac{1}{k_r^2} \{ H_0^0(k_r r) - H_0^0(k_r r) \}_{ik}] \quad (1)$$

( $H_0^0$ : 第1種0次のHankel関数,  $r=|\bar{z}-z|$ ,  $k_L, k_T$ はそれぞれP波・SV波の波数)

Bettiの相反作用の定理を用いると、領域( $D+ \partial D$ )において、次の境界積分方程式が成りたつ。

$$\frac{1}{2} U_k(z) = \int_{\partial D} \{ I_i^{(k)}(z, \bar{z}) t_i(\bar{z}) - I_{ii}^{(k)}(z, \bar{z}) u_i(\bar{z}) \} d\bar{z} \quad (z \in \partial D) \quad (2)$$

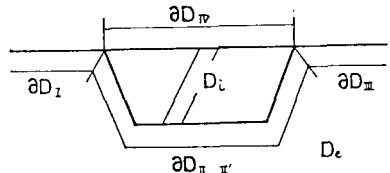
$$(I_{ii}^{(k)} = T_{ij} I_j^{(k)}, T_{ik} = \lambda n_i \partial_{ik} + \mu n_j \delta_{ik} \partial_j + \mu n_j \delta_{jk} \partial_i)$$

ところで、領域内にある点の変位、表面力は、平面入射波、平面反射波、散乱波によるものの和で与えられる外部領域のように領域が無限遠にまで及ぶ場合、無限遠での境界条件として、radiation conditionを満足しなければならない。これを満足する変数として、ここでは散乱波によるものを考えた。

区間( $\partial D_x + \partial D_{\text{II}} + \partial D_{\text{III}}$ )にわたって式(2)を適用し、離散化を行なうと、結局次に示す連立1次方程式が得られるここで、 $U_i, t_i$ は、それぞれ散乱波による変位、表面力を表わしている。

$$[T_{\partial D_x} \quad T_{\partial D_{\text{II}}} \quad T_{\partial D_{\text{III}}}] \begin{bmatrix} u_s(\partial D_x) \\ u_s(\partial D_{\text{II}}) \\ u_s(\partial D_{\text{III}}) \end{bmatrix} = [U_{\partial D_x} \quad U_{\partial D_{\text{II}}} \quad U_{\partial D_{\text{III}}}] \begin{bmatrix} t_s(\partial D_x) \\ t_s(\partial D_{\text{II}}) \\ t_s(\partial D_{\text{III}}) \end{bmatrix} \quad (3)$$

( $T$ : 2重層,  $U$ : 1重層)



### (ii) 内部問題

基礎式は、動弾性の基礎方程式に任意の変位ベクトルをかけ、部分積分を行なうことによって得られる。

$$\int_D (V_{i,j} \tau_{ij} - \rho \omega^2 V_i U_i) ds = \int_{\partial D} V_i t_i dC \quad (V_i \text{ は、任意の変位ベクトル}) \quad (4)$$

領域 ( $D_I + \partial D_I + \partial D_B$ ) の要素分割を行ない、式(4)を適用すると、結局次に示す方程式が得られる。

$$[K_{\partial D_I} \quad K_{D_I + \partial D_B}] \begin{bmatrix} \underline{U}(\partial D_I) \\ \underline{U}(D_I + \partial D_B) \end{bmatrix} = [F_{\partial D_I}] \begin{bmatrix} \underline{t}(\partial D_I) \\ \underline{t}(D_I + \partial D_B) \end{bmatrix} \quad (5)$$

( $K, F$  は、形状関数、及び物理定数に依存する係数)

### (iii) 定式化

$\partial D_I, \partial D_B$  の区間については、波長の2倍程度にとどめた。一方、境界上では表面力のつり合い条件(6)、変位の連続条件(7)、半無限地盤上での応力 free の条件(8)が成りたつ。

$$\underline{t}(\partial D_I) = -\underline{t}(\partial D_B) \quad (6) \quad \underline{U}(\partial D_I) = \underline{U}(\partial D_B) \quad (7) \quad \underline{t}(\partial D_I) = \underline{t}(\partial D_B) = 0 \quad (8)$$

これを考慮すると、(3)と(5)は次のような1つの方程式で表わすことができる。

$$\begin{bmatrix} T_{\partial D_I} & T_{\partial D_I} & T_{\partial D_I} & -U_{\partial D_I} & 0 \\ 0 & K_{\partial D_I} & 0 & F_{\partial D_I} & K_{\text{contact}} \end{bmatrix} \begin{bmatrix} \underline{U}(\partial D_I) \\ \underline{U}(\partial D_I) \\ \underline{U}(\partial D_I) \\ \underline{U}(\partial D_I) \\ \underline{U}(D_I + \partial D_B) \end{bmatrix} = \begin{bmatrix} T_{\partial D_I} \underline{U}_{IR}(\partial D_I) + T_{\partial D_I} \underline{U}_{IR}(\partial D_I) + T_{\partial D_I} \underline{U}_{IR}(\partial D_I) \\ -U_{\partial D_I} \underline{t}_{IR}(\partial D_I) - U_{\partial D_I} \underline{t}_{IR}(\partial D_I) - U_{\partial D_I} \underline{t}_{IR}(\partial D_I) \\ 0 \end{bmatrix} \quad (9)$$

( $\underline{U}_{IR} = \underline{U}_I + \underline{U}_R$ ,  $\underline{U}_I$  は平面入射波によるもの

$\underline{U}_R$  は平面反射波によるもの)

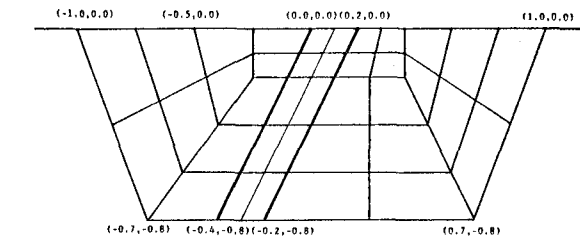
この式を解けば、境界上の変位、表面力、内部の変位を求めることができる。

## 3. 数値計算結果

内部領域の要素分割は右上図に示すとおりである。図中の太線で囲まれた部分を弱層として計算を行なった。なお、離散化にあたっては、BIEM, FEM共に2次アイソパラメトリック要素を用いている。

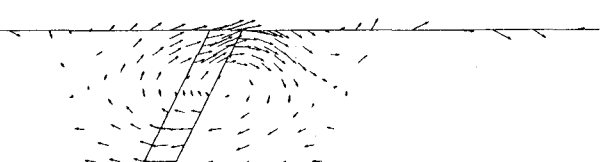
右図は、振幅1、波長1.57のSV波が鉛直下方から入射した時の地盤の応答である。この時の地盤条件は以下に示すとおりである。

弱層以外	$\rho = 1.0$
	$v = 0.25$
	$E = 1.0$
弱層部分	$\rho = 1.0$
	$v = 0.25$
	$E = 0.1$



REAL PART  
SV-WAVE  
W.L.=1.57  
I.A.=0.0

0.0 0.5 地盤のスケール  
0.0 10.0 変位のスケール



IMAGINARY PART  
SV-WAVE  
W.L.=1.57  
I.A.=0.0

0.0 0.5 地盤のスケール  
0.0 10.0 変位のスケール

